

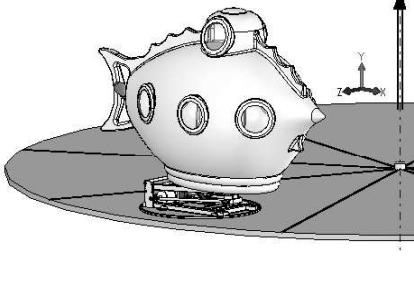
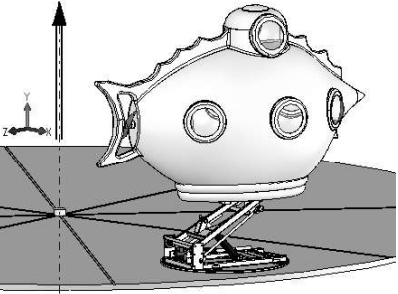
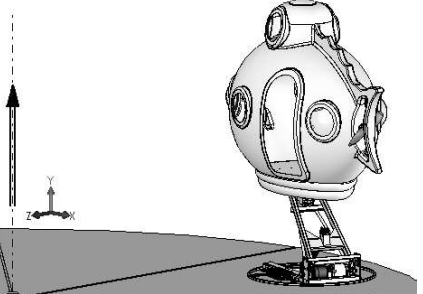
Caractéristiques du vérin :

Diamètre piston : 40 mm.
 Course : 190 mm.
 Taux de charge : 0,9.

Caractéristiques cinématique du manège :

Fréquence de rotation : 5 tours/min.

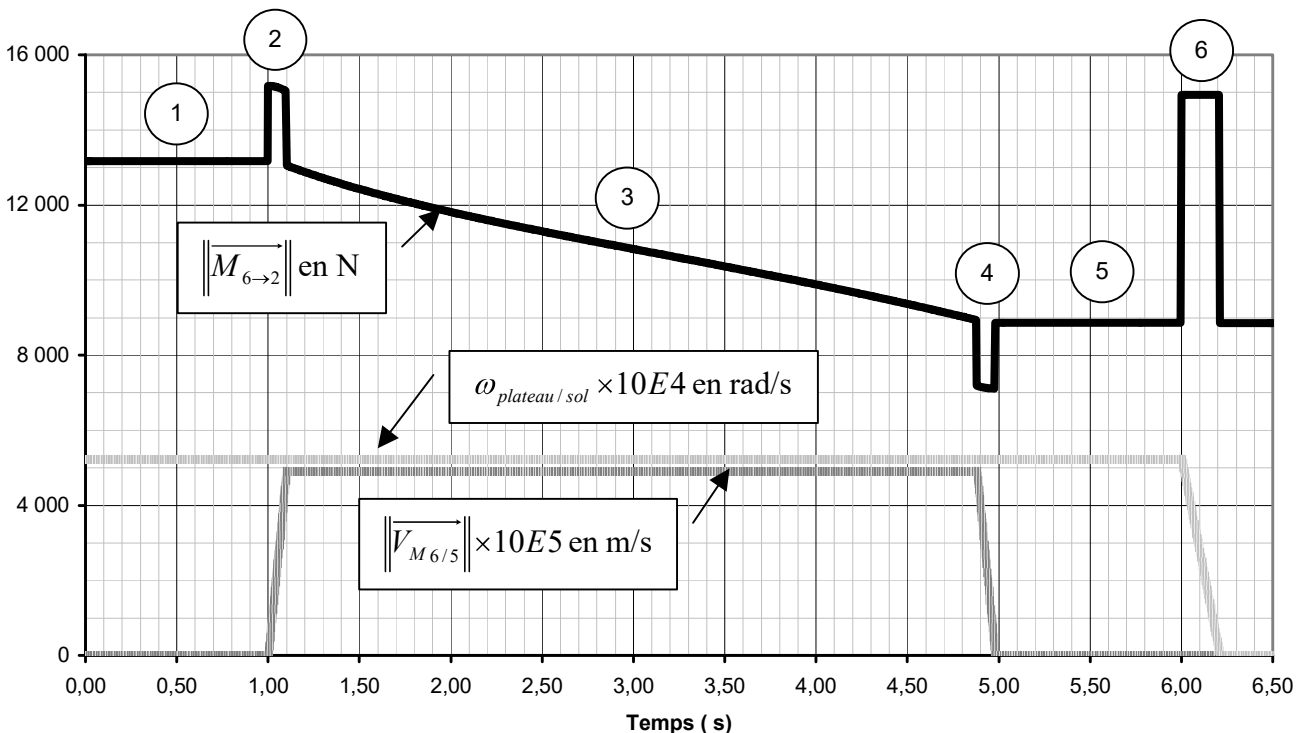
Description des mouvements du nautilus et du manège :

Le manège tourne Le nautilus est en position basse Phase ①	Le manège tourne L'élévateur soulève le nautilus Phase ②, ③, ④	Le manège tourne Le nautilus est en position haute Phase ⑤ Arrêt d'urgence, le manège s'arrête Phase ⑥
		

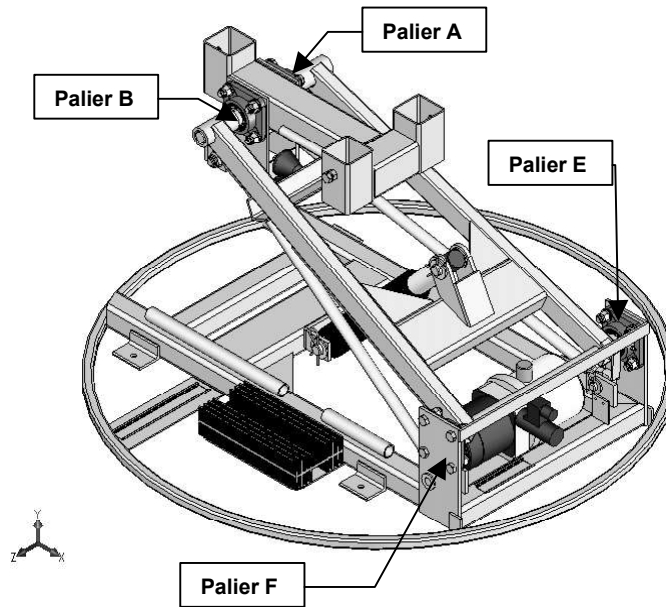
Graphe n°1 :

Variations en fonction du temps :

- du module de la résultante de l'action mécanique en M de la tige de vérin 6 sur le bras 2 ($\|\vec{M}_{6 \rightarrow 2}\|$ en Newton).
- de la vitesse angulaire du plateau par rapport au sol ($\omega_{plateau/sol} \times 10E4$ en rad/s).
- du module de la vitesse en M de la tige de vérin 6 par rapport au corps de vérin 5 ($\|\vec{V}_{M6/5}\| \times 10E5$ en m/s).



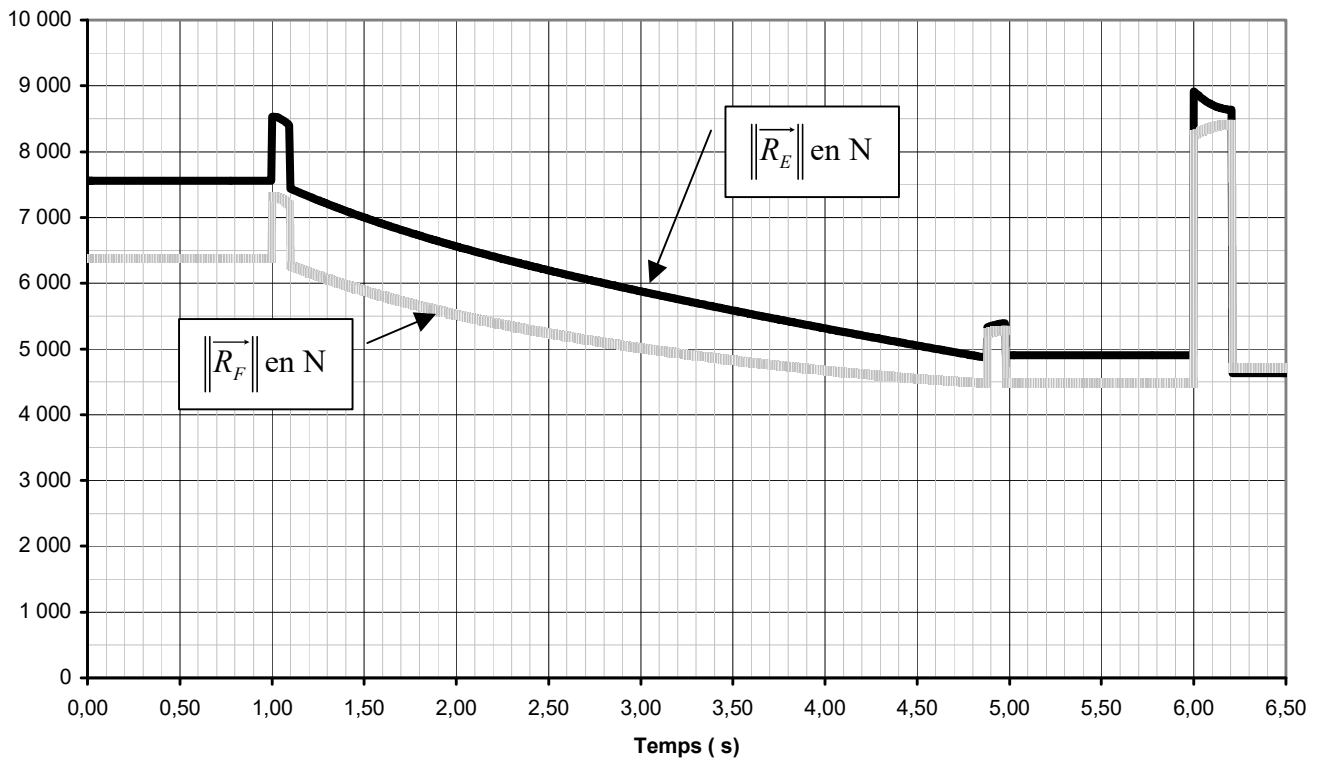
Modules des actions mécaniques dans les paliers de l'élévateur de sujet de manège.



Graphe n°2:

Variations en fonction du temps:

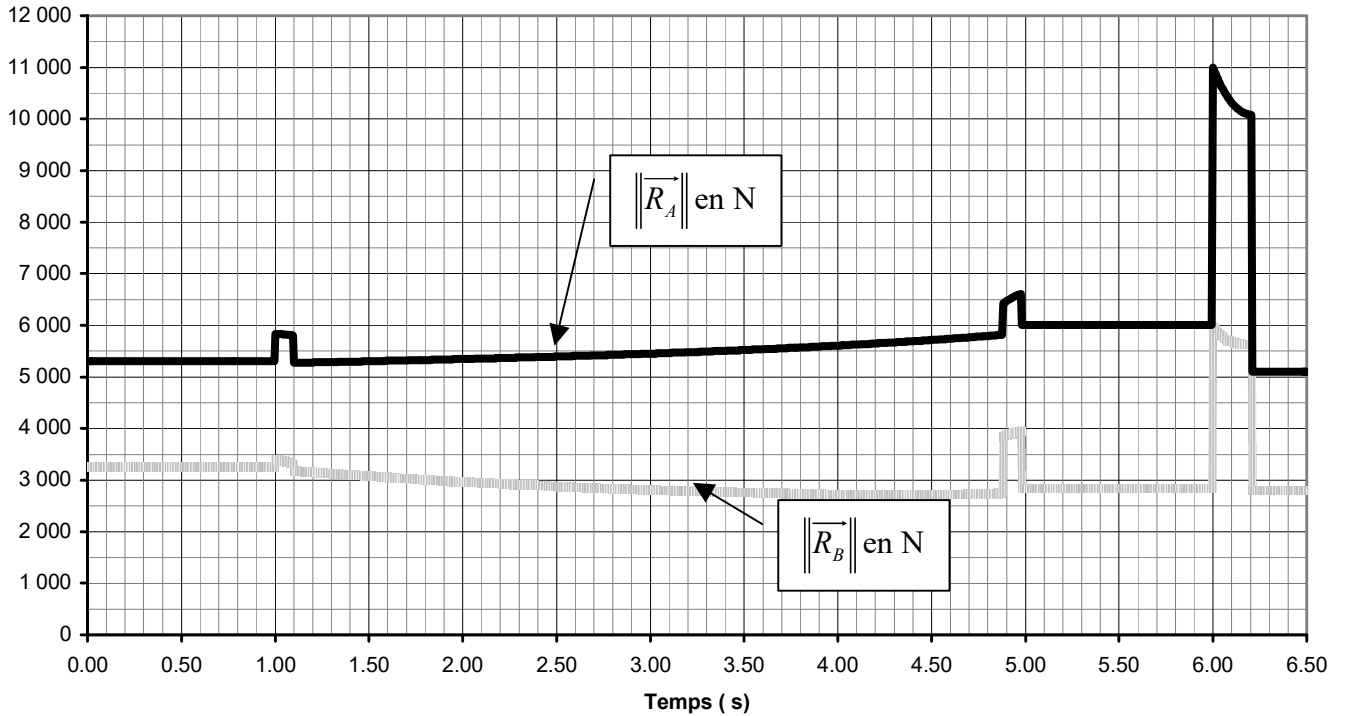
- Du module de l'effort radial appliqué au palier E ($\|\vec{R}_E\|$ en N).
- Du module de l'effort radial appliqué au palier F ($\|\vec{R}_F\|$ en N).



Graphe n°3:

Variations en fonction du temps :

- du module de l'effort radial appliqué au palier A ($\|\vec{R}_A\|$ en N).
- du module de l'effort radial appliqué au palier B ($\|\vec{R}_B\|$ en N).



Graphe n°4 :

Variation en fonction du temps du module de l'effort axial appliqué au palier A ($\|\vec{A}_A\|$ en N).

